

Rendu TP1 Image sous-pixelique

Yoann Pradat

October 22, 2018

Exercice 1 1) On définit d'abord une fonction permettant de calculer la tâche de diffraction d'une source ponctuelle à travers une ouverture circulaire. La constante définie en cours sera simplement notée C et sera prise égale à 1 dans les applications.

```
1 function [y] = k_diffraction (r, C)
2     jr = besselj(1, r);
3     y = C * (2 .* jr ./ r) .** 2;
4 endfunction
```

On visualise le profil du noyau de diffraction en exécutant:

```
1 lr = linspace(0.01, 10, 100);
2 lf = arrayfun(@(r) k_diffraction(r, 1), lr);
3 plot(lr, min(0.1, lf));
```

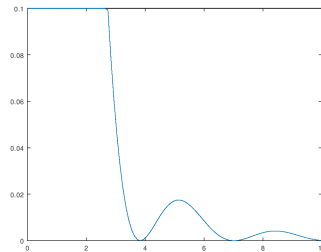
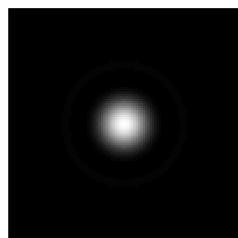


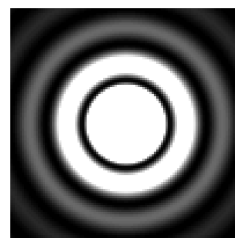
Figure 1 – Profil de diffraction tronqué

2)

```
1 [x, y] = meshgrid(linspace(-10, 10, 100), linspace(-10, 10, 100));
2 r = sqrt(x.^2 + y.^2);
3 C = 1;
4 imshow(arrayfun(@(er) k_diffraction(er, C), r));
5 imshow(arrayfun(@(er) k_diffraction(er, C), r), [0, 0.01]);
```



(a) Tache non saturée



(b) Tache saturée

3) On visualise désormais le profil radial et l'image bidimensionnelle de la FTM.

```

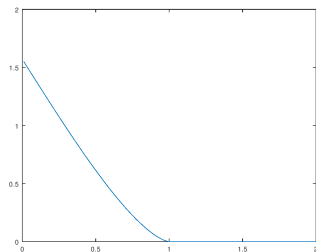
1 function retval = ftm (x)
2     rho=abs(x);
3     if (rho >= 1)
4         retval = 0;
5     else
6         retval=acos(rho)-rho*sqrt(1-rho^2);
7 endfunction

```

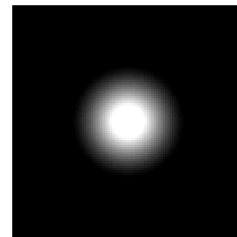
```

1 %Profil radial
2 lr = linspace(0.01, 2, 100);
3 lf = arrayfun(@(r) ftm(r), lr);
4 plot(lr, lf);
5 %Image bidimensionnelle
6 [x, y] = meshgrid(linspace(-2, 2, 100), linspace(-2, 2, 100));
7 r = sqrt(x.^2 + y.^2);
8 imshow(arrayfun(@(er) ftm(er), r));

```



(a) Profil radial



(b) Image 2D

```

1 [x, y] = meshgrid(linspace(-100, 100, 400), linspace(-100, 100, 400));
2 r = sqrt(x.^2 + y.^2);
3 coor = arrayfun(@(er) k_diffraction(er, 1), r);
4 v = fftshift(abs(fft2(coor)));
5 imshow(v, [0, max(max(v))]);

```

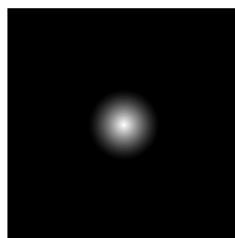
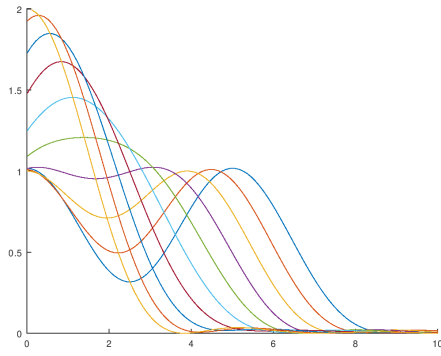
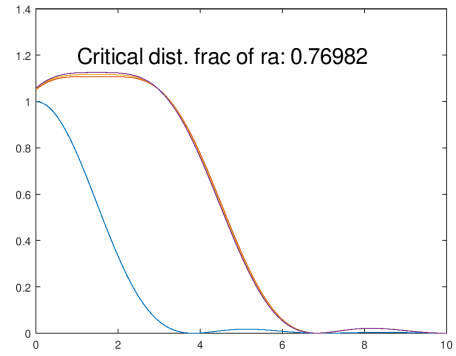


Figure 2 – FTM calculé par transformée de Fourier discrète à 2D

4) Comme on peut le voir sur la figure de gauche ci-dessous, les profils superposés présentent deux maxima puis un seul à mesure que la distance entre les tâches diminue. Etant donné ce graphe, on peut localiser à peu près la distance critique. On trouve $\text{critical distance} \approx 0.76982r_a$.



(a) Approximate localisation



(b) Exact localisation

```

1  n_pts = 100;
2  n_pts_search = 100;
3  lr = linspace(0.01, 10, n_pts);
4
5  % We localised optimal distance in [1,3]
6  d_search=linspace(3,1, n_pts_search);
7  i=0;
8  n_zeros_x = 4;
9
10 % First point spread function
11 K1 = k_diffraction(lr,1);
12 [minval, argmin] = min(K1(1:n_pts/2));
13 ra = lr(argmin);
14
15 fprintf("Rayon d'airy:%f\n", ra);
16 plot(lr, K1)
17
18 while n_zeros_x >= 2
19     i=i+1;
20     d=d_search(i);
21     rd=abs(lr-d);
22     K2=k_diffraction(rd,1);
23
24     % Sum PFS distant from d
25     K=K1+K2;
26     diff_K = diff(K);
27
28     % Count number of zero crossings in the range 0 to d
29     % If this is higher than 1, there are at least 2 extrema
30
31     [minval, argmin] = min(abs(lr-d));
32     f_idx = 1;
33     l_idx = argmin-1;
34     n_zeros_x = count_zeros(diff_K(f_idx:l_idx));
35     hold on
36     plot(lr, K)
37 end
38 fprintf("Critical distance as fraction of ra: %f\n", d/ra)

```

5) En reprenant les calculs vus en cours on a pour une pupille s'étendant sur le domaine $\{x | \epsilon \frac{D}{2} \leq \|x\| \leq \frac{D}{2}\}$

$$\begin{aligned} K_{diffraction}(x) &= \frac{1}{2f^2} \left| \int_{\epsilon \frac{D}{2}}^{\frac{D}{2}} 2\pi J_0\left(\frac{2\pi|x|r}{\lambda f}\right) r dr \right|^2 \\ &= \frac{\pi^2 D^4}{8f^2 R^4} (RJ_1(R) - (\epsilon R)J_1(\epsilon R))^2 \\ &= C \left(\frac{2J_1(R)}{R} \right)^2 + C \left(\frac{2\epsilon J_1(\epsilon R)}{R} \right)^2 - 8C \frac{J_1(R)\epsilon J_1(\epsilon R)}{R^2} \end{aligned}$$

6) On définit une fonction pour calculer le noyau de diffraction associé à une pupille de télescope.

```
1 function [y] = k_diffraction_telesc (r, C, ep)
2     jr = besselj(1, r);
3     jr_ep = besselj(1, ep .* r);
4     y = C * (2 .* jr ./ r) .** 2 - C * (2 * ep .* jr_ep ./ r) .** 2 - 8*C*(
5         ep.* jr .* jr_ep) ./ r^2;
endfunction
```

On réexecute la transformation de Fourier discrète avec cette nouvelle fonction pour visualiser la FTM.

```
1 [x, y] = meshgrid(linspace(-100, 100, 400), linspace(-100, 100, 400));
2 r = sqrt(x.^2 + y.^2);
3 coor = arrayfun(@(er) k_diffraction_telesc(er, 1, 1/4), r);
4 v = fftshift(abs(fft2(coor)));
5 imshow(v, [0, max(max(v))]);
```

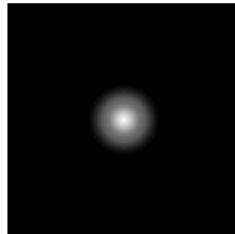


Figure 3 – FTM télescope calculée par transformée de Fourier discrète à 2D

On observe la même FTM que pour une pupille de même diamètre sans occlusion. On en déduit que la lunette et le télescope ont la même résolution.

Exercice 2 1) g étant mesurable à support compact, elle est dans $L^1(\mathbf{R}^2)$. Définissons \tilde{g} la fonction $\tilde{g} : x \rightarrow g(-x)$. Alors \tilde{g} est aussi dans L^1 et:

$$\begin{aligned} \Gamma &= \tilde{g} \star g \\ \text{d'où } \hat{\Gamma}(\xi) &= \widehat{\tilde{g} \star g}(\xi) \\ &= \hat{\tilde{g}}(\xi) \times \hat{g}(\xi) \\ &= \int_{\mathbf{R}^2} g(x) e^{+i\langle x, \xi \rangle} dx \times \int_{\mathbf{R}^2} g(x) e^{-i\langle x, \xi \rangle} dx \\ &= |\hat{g}(\xi)|^2 \end{aligned}$$

En effet, dans l'avant dernière ligne les intégrales sont conjuguées l'une de l'autre et la seconde est la transformée de Fourier de g .